

工程控制原理

4. 频率特性分析

4.4 系统的频率特性

主讲：李敏



4. 频率特性分析

4.4 系统的频率特性

在掌握了典型环节频率特性的基础上，可以作出系统的开环频率特性曲线，即开环Nyquist图和开环Bode图，进而利用这些图形研究相应的控制系统性能。

闭环频率特性由于徒手作图比较困难，需要借助于计算机以及专用格式的图表。

两个环节串联时，其传递函数和频率特性都是相乘的关系，而对数幅频特性则是相加的关系，这给幅频特性的作图带来了方便，也正是Bode图比Nyquist图优越的地方。



4.4 系统的频率特性

4.4.1 系统伯德图的绘制

Bode图是利用对数坐标和渐近线来绘制的，绘制系统Bode图的一般步骤为：

- ① 将系统传递函数 $G(s)$ 转化为若干(标准形式)典型环节传递函数乘积的形式(将惯性、一阶微分、振荡、二阶微分环节中的常数项化为1)；
- ② 由传递函数 $G(s)$ 求出频率特性 $G(j\omega)$ ；
- ③ 找出各典型环节的转折频率；
- ④ 作出各典型环节对数幅频特性的渐近线；



4.4.1 系统伯德图的绘制

- ⑤ 根据误差修正曲线对渐近线进行修正，得到各环节对数幅频特性的精确曲线；
- ⑥ 将各环节的对数幅频特性叠加（不包括系统总的增益 K ）；
- ⑦ 将叠加后的曲线垂直移动 $20\lg K$ ，得到系统的对数幅频特性曲线；
- ⑧ 作各环节的对数相频特性图，然后叠加成系统总的相频特性曲线；
- ⑨ 存在延时环节时，对数幅频特性曲线不变，对数相频特性应加上 $-\tau\omega$ 。

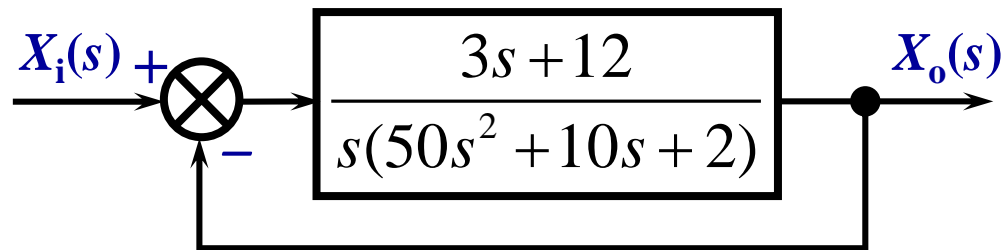


4.4.1 系统伯德图的绘制

例题：绘制图示单位反馈系统的开环Bode图

解：① 将 $G(s)$ 转化为

$$\begin{aligned} G(s) &= \frac{3s + 12}{s(50s^2 + 10s + 2)} \\ &= \frac{6(0.25s + 1)}{s[(5s)^2 + 5s + 1]} \end{aligned}$$



$G(s)$ 由比例、积分、振荡、
一阶微分四个环节组成

② 系统开环频率特性为

$$G(j\omega) = \frac{6(0.25j\omega + 1)}{(j\omega)[(5j\omega)^2 + 5j\omega + 1]}$$



4.4.1 系统伯德图的绘制

③ 找出各环节的转折频率

放大环节: $G_1(j\omega)=6$, $L_1(\omega)=20\lg 6 \text{ dB}=15.5 \text{ dB}$, 幅频特性曲线为一条水平线, 无转折频率; 相角为 0° 。

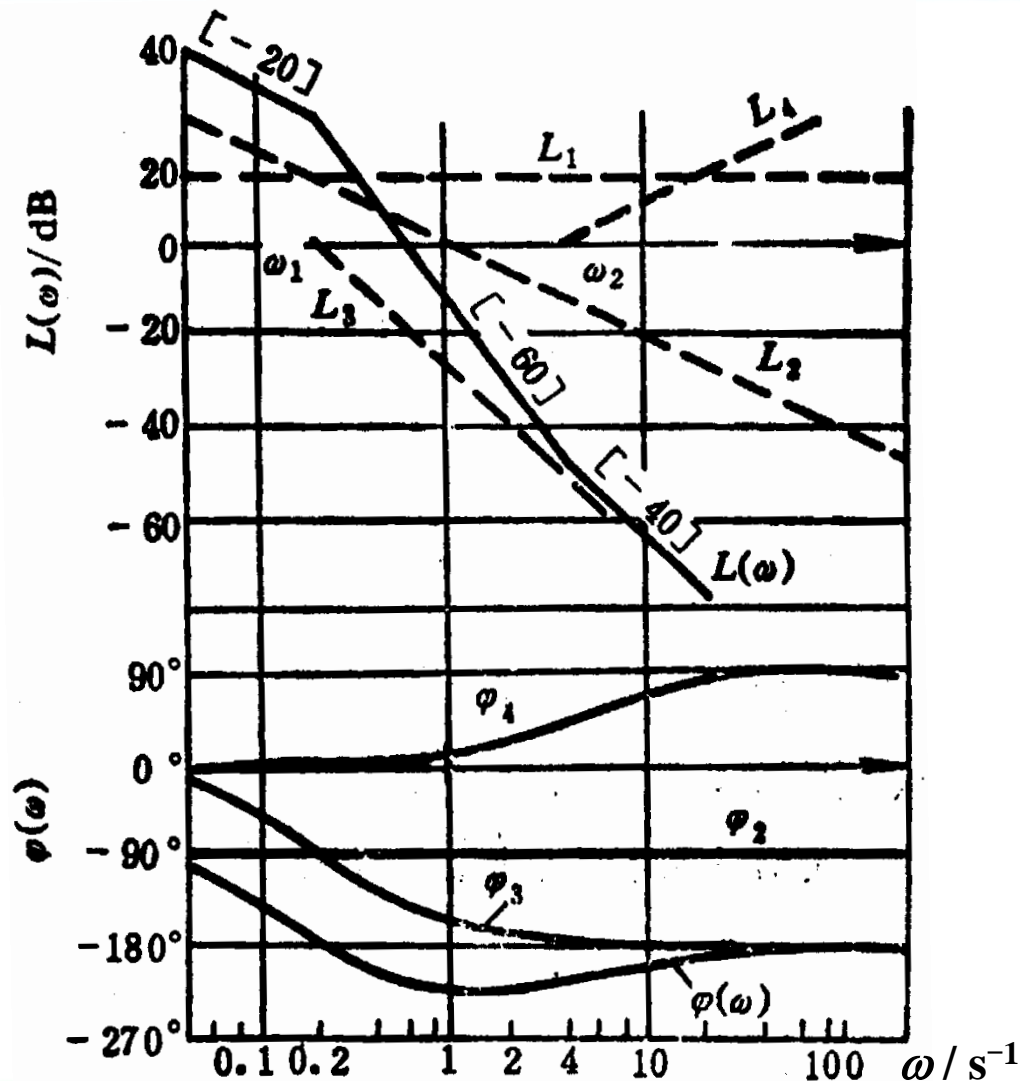
积分环节: $G_2(j\omega)=1/j\omega$, $L_2(\omega)=-20\lg \omega$, 幅频特性曲线为一条过 $(\omega=1, 0\text{dB})$ 斜率为 -20dB/dec 的直线, 无转折频率; 相角为 -90° 。

振荡环节: $G_3(j\omega)=1/(1-25\omega^2+5j\omega)$, $L_3(\omega)$ 的两条渐近线分别为 0dB 线和斜率为 -40dB/dec 的直线, 转折频率 $\omega_1=0.2$, $\zeta=0.5$; 相频 $\varphi_3(\omega)$ 由 $0^\circ \rightarrow 180^\circ$, 转折频率 $\omega_1=0.2$ 处的相角为 -90° 。



4.4.1 系统伯德图的绘制

开环系统的Bode图



4.4.1 系统伯德图的绘制

一阶微分： $G_4(j\omega)=0.25j\omega+1$ ， $L_4(\omega)$ 的两条渐近线分别为0dB线和斜率为+20dB/dec的直线，转折频率 $\omega_2=4$ ；相频特性 $\varphi_4(\omega)$ 由 $0^\circ \rightarrow 90^\circ$ ，转折频率 $\omega_2=4$ 处的相角为 $+45^\circ$ 。

④ 选定坐标轴的比例尺，作出各环节的对数幅频特性渐近线。

⑤ 修正各环节的对数幅频特性渐近线（略）。

⑥ 叠加各环节的对数幅频特性。

叠加 $L_1(\omega)$ 和 $L_2(\omega)$ ：即将过 $(\omega=1, 0\text{dB})$ 斜率为 -20dB/dec 的直线向上平移15.5dB。



4.4.1 系统伯德图的绘制

在 $\omega < \omega_1$ 的频率范围内： $L_3(\omega)=L_4(\omega)=0$ ，只有 $L_1(\omega)$ 和 $L_2(\omega)$ 的叠加，对数幅频特性渐近线为一条过 $(\omega=1, 15.5\text{dB})$ 斜率为 -20dB/dec 的直线。

在 $\omega_1 < \omega < \omega_2$ 的频率范围内： $L_4(\omega)=0$ ， $L_3(\omega)$ 为斜率 -40dB/dec ，叠加到 $L_1(\omega)+L_2(\omega)$ 后，对数幅频特性渐近线为一条在 $\omega=\omega_1$ 处斜率变为 -60dB/dec 的直线。

在 $\omega > \omega_2$ 的频率范围内： $L_4(\omega)$ 为斜率 $+20\text{dB/dec}$ ，叠加到 $L_1(\omega)+L_2(\omega)+L_3(\omega)$ 后，对数幅频特性渐近线为一条在 $\omega=\omega_2$ 处斜率变为 -40dB/dec 的直线。



4.4.1 系统伯德图的绘制

⑦ 作各环节的相频特性曲线，并合成系统的对数相频特性曲线。

如果将开环传递函数表示为

$$G(s)H(s) = \frac{K(\tau_1 s + 1) \cdots (\tau_p s + 1) (\tau_{p+1}^2 s^2 + 2\xi_{p+1} \tau_{p+1} s + 1) \cdots}{s^\nu (T_1 s + 1) \cdots (T_q s + 1) (T_{q+1}^2 s^2 + 2\xi_{q+1} T_{q+1} s + 1) \cdots}$$

代表了开环系统中具有比例、一阶微分、二阶微分、…、积分、惯性、振荡、… 等等环节。

其中， ν 代表了积分环节的数目。



4.4 系统的频率特性

4.4.2 系统Bode图的特点

① 最低频段的斜率取决于积分环节的数目 ν ，斜率为 $-20\nu \text{ dB/dec}$ 。

② 最低频段的对数幅频特性可近似为：

$$L(\omega) = 20\lg K - 20\nu\lg \omega$$

当 $\omega=1 \text{ rad/s}$ 时， $L(\omega)=20\lg K$ ，即最低频段的对数幅频特性或其延长线在 $\omega=1 \text{ rad/s}$ 时的数值等于 $20\lg K$ 。



4.4.2 系统Bode图的特点

Bode图特点

③ 如果各环节的对数幅频特性用渐近线表示，则对数幅频特性为一系列折线，折线的转折点为各环节的转折频率。

④ 对数幅频特性的渐近线每经过一个转折点，其斜率相应发生变化，斜率变化量由当前转折频率对应的环节决定。

惯性环节：斜率下降 20dB/dec ；

振荡环节：斜率下降 40dB/dec ；

一阶微分环节：斜率上升 20dB/dec ；

二阶微分环节：斜率上升 40dB/dec 。



4.4 系统的频率特性

4.4.3 根据Bode图求系统传递函数

- ① 确定对数幅频特性的渐近线。
- ② 根据低频段渐近线的斜率，确定系统包含的积分（或微分）环节的个数。
- ③ 根据低频段渐近线或其延长线在 $\omega=1$ rad/s的分贝值，确定系统开环增益。

注意到系统低频段渐近线可近似为：

$$L(\omega) = 20\lg K - 20\nu\lg \omega$$



4.4.3 根据Bode图求系统传递函数

根据Bode图求取系统的传递函数

若系统含有积分环节，则该渐近线或其延长线与0dB线(频率轴)的交点为： $\omega = \sqrt[n]{K}$

若系统不含积分环节，低频渐近线为 $20\lg K$ dB的水平线， K 值可由该水平渐近线获得。

- ④ 根据渐近线转折频率处斜率的变化，确定对应的环节。
- ⑤ 获得系统的频率特性函数或传递函数。



4.4 系统的频率特性

4.4.4 系统Nyquist图的一般画法

绘制几个典型环节串联组成的系统Nyquist图时，需将这些环节的频率特性中对应的向量模相乘，幅角相加，然后再逐步作图。具体步骤为：

① 系统的频率特性可表达为

$$G(j\omega) = \frac{K(\tau_1 j\omega + 1)(\tau_2 j\omega + 1) \cdots (\tau_m j\omega + 1)}{(j\omega)^v (T_1 j\omega + 1)(T_2 j\omega + 1) \cdots (T_{n-v} j\omega + 1)}$$

分别写出开环系统中各个典型环节的幅频特性和相频特性。

② 写出开环系统的 $A(\omega)$ 和 $\varphi(\omega)$ 表达式。



4.4.4 系统Nyquist图的一般画法

- ③ 分别求出 $\omega=0$ 和 $\omega \rightarrow +\infty$ 时的 $G(j\omega)$ 。
- ④ 由 $\text{Im}[G(j\omega)]=0$ ，求Nyquist图与实轴的交点。
- ⑤ 由 $\text{Re}[G(j\omega)]=0$ ，求Nyquist图与虚轴的交点。
- ⑥ 必要时画出中间几个点，勾画出 Nyquist图的大致形状。



4.4.4 系统Nyquist图的一般画法

例如：0型系统 ($\nu=0$) $n>m$

$\omega=0$ 时,

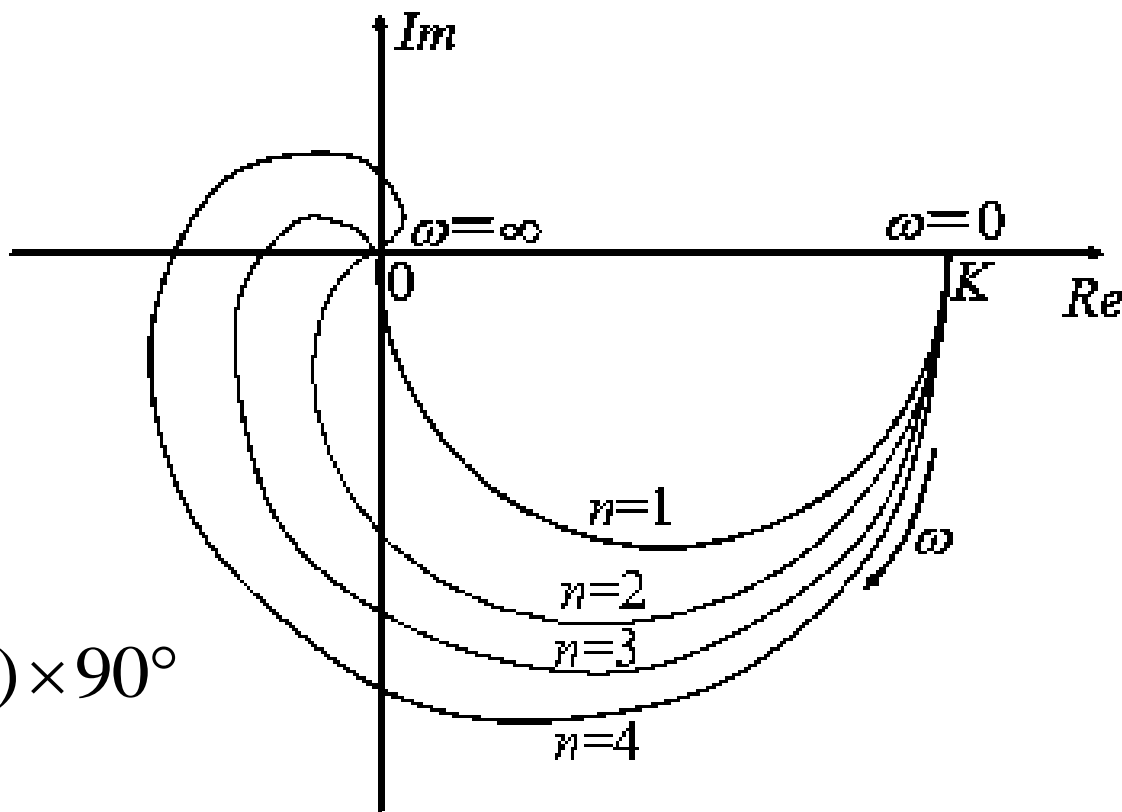
$$A(0) = K$$

$$\varphi(0) = 0^\circ$$

$\omega \rightarrow +\infty$ 时,

$$A(\infty) = 0$$

$$\varphi(\infty) = -(n-m) \times 90^\circ$$



只包含惯性环节的0型系统Nyquist图



4.4.4 系统Nyquist图的一般画法

例如：I型系统 ($\nu=1$) $n>m$

$\omega=0$ 时,

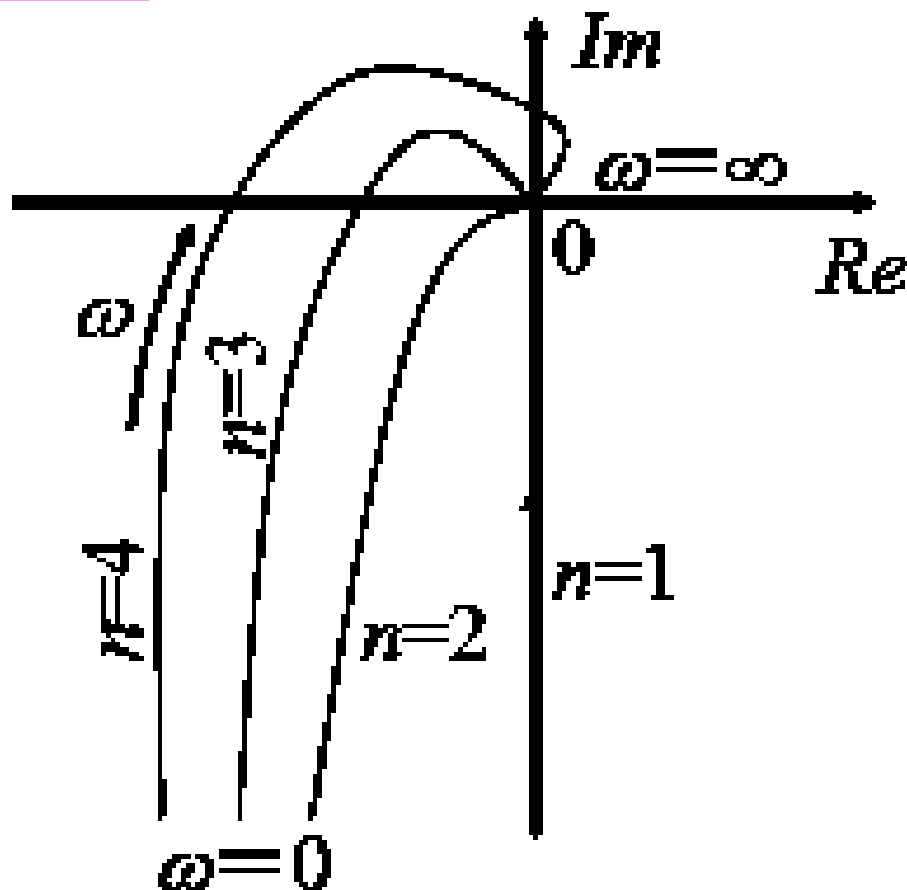
$$A(0) \rightarrow -\infty$$

$$\varphi(0) = -90^\circ$$

$\omega \rightarrow +\infty$ 时,

$$A(\infty) = 0$$

$$\varphi(\infty) = -(n-m) \times 90^\circ$$

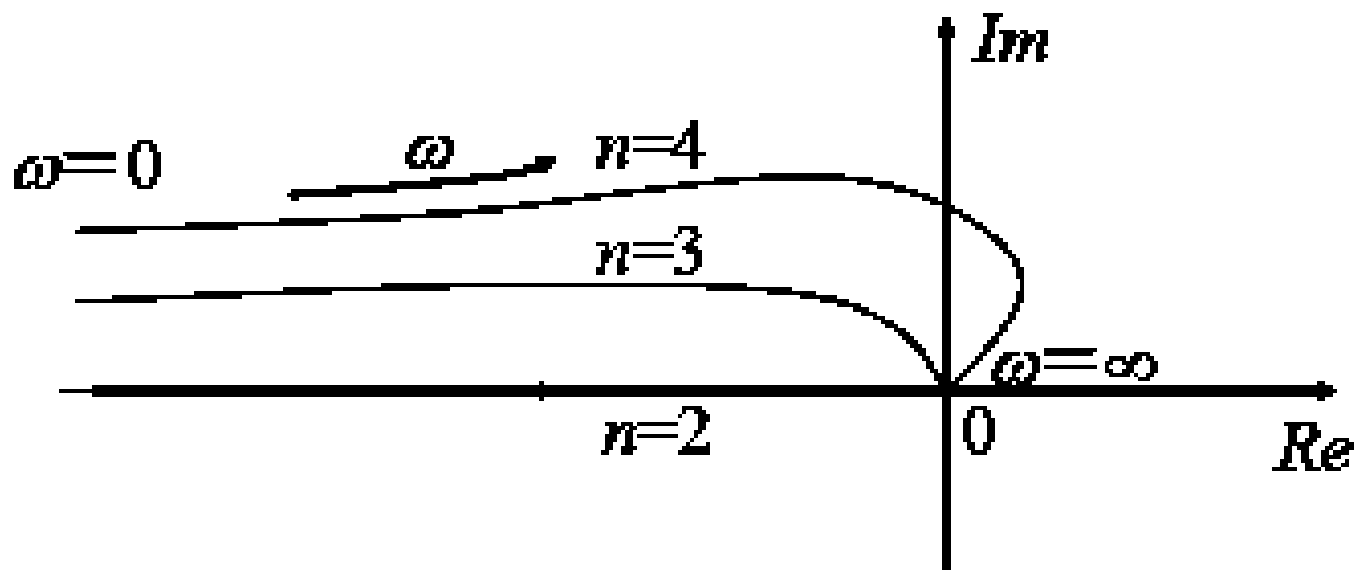


4.4.4 系统Nyquist图的一般画法

例如：II型系统 ($\nu=2$) $n>m$

$\omega=0$ 时, $A(0) \rightarrow -\infty$, $\varphi(0) = -180^\circ$

$\omega \rightarrow +\infty$ 时, $A(\infty) = 0$, $\varphi(\infty) = -(n-m) \times 90^\circ$



4.4.4 系统Nyquist图的一般画法

Nyquist图特点

$$\omega \rightarrow 0: \quad G(j\omega) = \frac{K}{\omega^\nu} \angle \nu(-\frac{\pi}{2})$$

$$\omega \rightarrow \infty: \quad G(j\omega) \approx \frac{K\tau_1\tau_2\tau_3\cdots}{T_1T_2T_3\cdots\omega^{n-m}} \angle (n-m)(-\frac{\pi}{2})$$

① 开环含有 ν 个积分环节系统，Nyquist曲线起自幅角为 $-\nu 90^\circ$ 的无穷远处。

② 当 $n=m$ 时，Nyquist曲线终止于实轴上的某一有限远点。



4.4.4 系统Nyquist图的一般画法

③ 当 $n > m$ 时，Nyquist曲线终点幅值为0，而终点的相角为 $-(n-m) \times 90^\circ$

④ 不含一阶或二阶微分环节的系统，相角滞后量单调增加。含有一阶或二阶微分环节的系统，由于相角非单调变化，Nyquist曲线可能出现凹凸。

